

Основы теории действия взрыва

Поле взрыва заряда ВВ

Продукты детонации (ПД) при своем расширении в среде, окружающей заряд, формируют ударную волну (УВ), параметры которой зависят от типа ВВ, его плотности и от сжимаемости среды

Для того, чтобы охарактеризовать действие взрыва на окружающие объекты, говорят о поле взрыва. Полем взрыва называется область пространства, в которой проявляется его разрушительное действие за счет расширяющихся ПД и возникает в среде УВ.

Форма поля взрыва в однородной среде зависит от формы заряда. Так, при взрыве сферического заряда, инициируемого из центра, облако ПД и УВ имеют форму сферы.

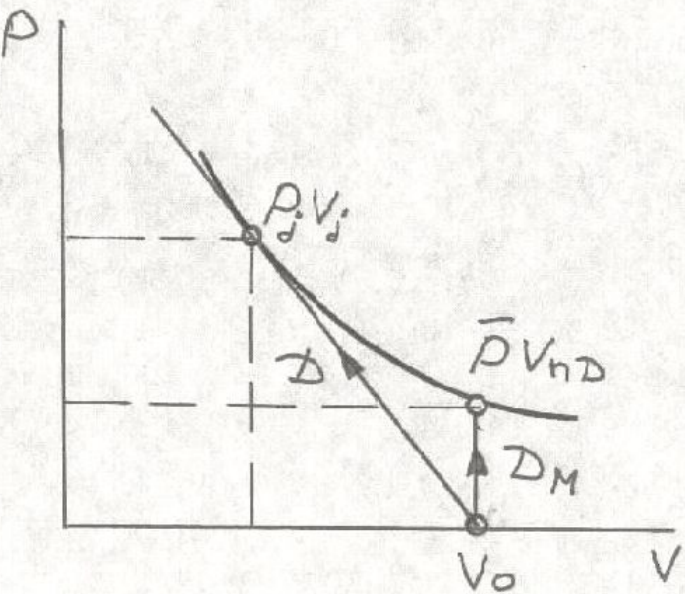


Рис. 13.1. Р,V-диаграмма
“мгновенной” детонации

При взрыве цилиндрического заряда, если $l_{\text{зар}} \leq (2 \div 3) d_{\text{зар}}$, инициированного с торцов, в первоначальный момент форма поля взрыва близка к конической. С увеличением же расстояния от заряда форма его приближается к сферической.

При взрыве линейного цилиндрического заряда, когда $l_{\text{зар}} >> d_{\text{зар}}$ форма поля взрыва в процессе распространения детонации имеет форму конуса, а по окончании - цилиндра. Неоднородность среды (наличие границ раздела) оказывает влияние на форму поля взрыва.

Для упрощения в дальнейшем будем рассматривать взрыв сферического заряда (R_0) в однородной среде. Предположим, что детонация проходит мгновенно $D_m = \infty$, тогда в первоначальный момент времени радиус оболочки ПД будет равен (R_0), а $V_{\text{ПД}} = V_0$ (рис. 13.1).

Найдем давление в облаке ПД (\bar{P}). Принимая уравнение в виде (5.1) с $k=3$, запишем

$$P_j V_j^3 = \bar{P} V_{\text{ПД}}^3 = \bar{P} V_0^3 , \quad (13.1)$$

$$\bar{P} = P_j \left(\frac{V_i}{V_0} \right)^3 , \text{ используя (9.9)}$$

$$\bar{P} = P_j \left(\frac{3}{4} \right)^3 = \frac{27}{64} P_j \approx 0.5 \cdot P_j . \quad (13.2)$$

По мере расширения ПД давление в них падает, по среде распространения УВ, а к центру облака движется волна разрежения (R) (рис. 13.2 б).

В зависимости от интенсивности действия ПД и УВ условно различают три зоны разрушительного действия взрыва.

Первая зона (рис. 13.2 б) - зона действия ПД или зона близантного действия.

$$r_1 \leq (1.5 \div 2.0) r_0 . \quad (13.3)$$

Вторая зона - зона совместного действия ПД и УВ.

$$r_2 \leq (5 \div 6) r_0 \quad (\text{рис. 13.2 с}) . \quad (13.4)$$

Третья зона - зона общего (фугасного) действия взрыва

$$r_3 > (5 \div 6) r_0 \quad (\text{рис. 13.2 д}) . \quad (13.5)$$

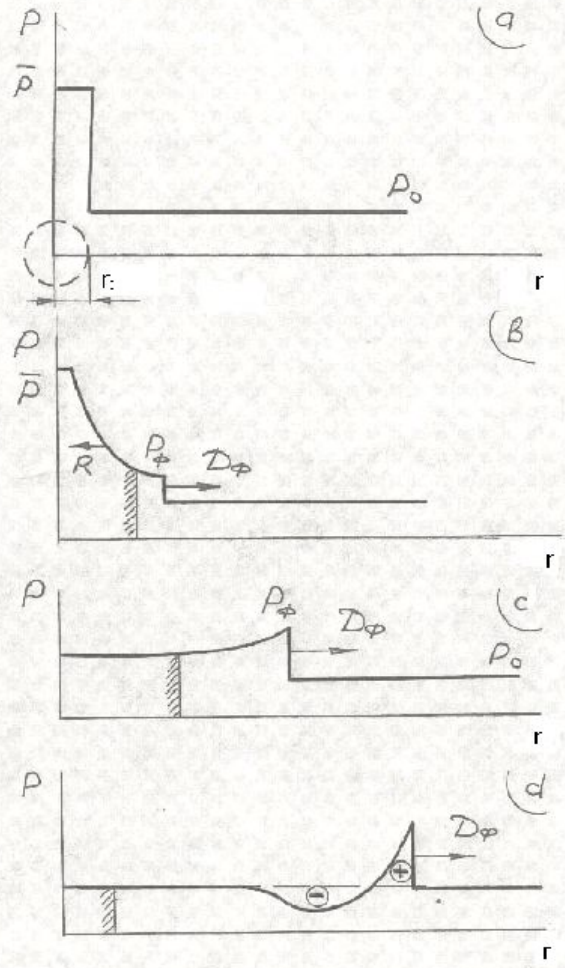


Рис. 13.2 Поле взрыва сферического заряда в однородной среде

Особенностью распространения ПД является то, что они не могут расширяться беспрепятственно. Процесс расширения заканчивается тогда, когда давление и плотность ПД и среды сравняются.

Предельный радиус ПД ($R_{\text{пр}}$) при взрыве в воздухе, например, заряда ВВ с $\rho_0 = 1.6 \div 2.0 \text{ кг/м}^3$ что в 1300-1600 раз превышает плотность воздуха

$$R_{\text{пр}} = \sqrt[3]{1300 \div 1600} \cdot R_0 = (11 \div 13) \cdot R_0. \quad (13.6)$$

ПД в начале “по инерции” должны занимать объем, превышающий предельный, затем испытывают обратное движение - сжатие, снова расширение выше предельного и т.д., т.е. происходит пульсация облака. При переходе УВ из более плотной среды (ВВ) в менее плотную (см. раздел 7, п. 7.8.2) скорость границы раздела

$$U_x = U_j + \Delta U = U_j + \int_{P_x}^{P_j} \frac{\partial P}{\rho c}, \quad (13.7)$$

где P_x - конечное давление при расширении.

Используя выражения (4.1), (8.9), (8.12), получим:

$$U_x = \frac{D}{k+1} \left\{ 1 + \frac{2k}{k-1} \left[1 - \left(\frac{P_x}{P_j} \right)^{\frac{k-1}{2k}} \right] \right\} . \quad (13.8)$$

Предельный случай - истечение в вакуум при $P_x=0$

$$U_x = U_{\max} = \frac{3k-1}{k^2-1} D , \quad (13.9)$$

при $k=3$ получим $U_{\max}=D$.

В действительности $U_{\max} \geq 2D$ поскольку величина (k) не является постоянной в процессе расширения ПД.

Расчет параметров УВ при переменной величине (n) весьма сложен. Поэтому для инженерных расчетов часто используют метод сопряженных изоэнтроп (Ландау, Станюкович), сущность которого заключается в том, что реальная изоэнтропа расширения ПД заменяется двумя идеализированными, с постоянными значениями (k), (γ), причем в интервале (P_j-P_x) $n=3$, а для (P_j-P_k) $\gamma = 1.4$. При таком подходе возможно решение

$$P_x = \frac{k+1}{2} \rho_v U_x^2 , \quad (13.10)$$

где ρ_v - плотность воздуха.

Результаты расчетов начальных параметров УВ в воздухе для некоторых ВВ приведены в таблице 13.1.

Начальные параметры УВ в воздухе.

Таблица 13.1

Тип ВВ	$\rho_0, \text{г/см}^3$	$D, \text{км/с}$	$P_x, \text{МПа}$	$U_x, \text{м/с}$	$U_{\max}, \text{м/с}$
ТНТ	1.62	7.00	65.7	6.53	12.8
Гексоген	1.65	8.35	89.3	7.60	14.2
ТЭН	1.69	8.40	94.2	7.82	14.9

Интенсивность УВ в воздухе быстро падает. Так для сферического заряда ТНТ при $R \geq 12 \cdot R_0$ (Садовский).

$$\Delta P_\phi = 7 \frac{q}{R^3} + 2.7 \frac{q^{2/3}}{R^2} + 0.84 \frac{q^{1/3}}{R} \left(\frac{\text{кг}}{\text{см}^2} \right), \quad (13.11)$$

где ΔP_ϕ - давление на фронте УВ;

q - масса заряда (кг);

R - расстояние (М).

$$D_\phi = c_0 \sqrt{1 + 0.83 \frac{\Delta P_\phi}{P_0}} \quad (\text{м/с}) \quad , \quad (13.12)$$

где D_ϕ - скорость фронта УВ;

P_0 , c_0 - давление и скорость звука при нормальных условиях.

Продолжительность фазы сжатия (t_+) и фазы расширения (t_-)

$$t_+ = 0.0015 \cdot \sqrt{R} \cdot \sqrt[6]{q} \quad (\text{с}) \quad , \quad (13.13)$$

$$t_- = \frac{4.25 \cdot \sqrt{q}}{c_0} \quad (\text{с}) \quad . \quad (13.14)$$

При подводном взрыве ($R_{\text{пр}}$), естественно меньше, чем в воздухе

$$R_{\text{пр}} = 26.8 \cdot k \cdot \sqrt[3]{\frac{q}{h+10}} \quad (\text{см}) \quad , \quad (13.15)$$

где k - коэффициент учитывающий свойства воды;

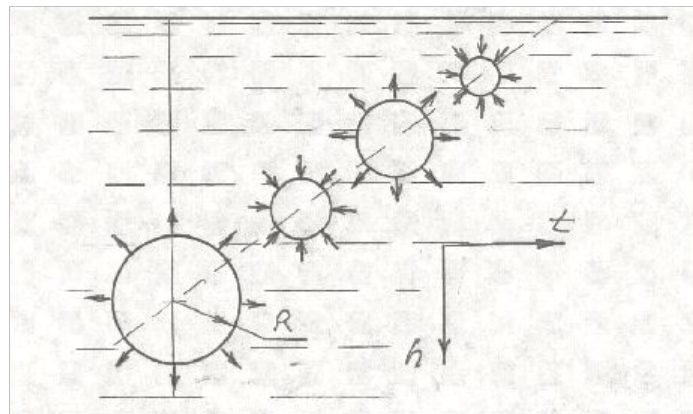
h - глубина от поверхности воды (м).

При взрыве в воде особенно характерен пульсирующий режим расширения ПД.

$$T = 4.36 \cdot k \cdot \sqrt[3]{q} \cdot (h+10)^{-\frac{5}{6}} \text{ (с) , (13.16)}$$

где T - период пульсаций.

Кроме того, пузырь ПД пульсируя поднимается к поверхности (рис. 13.3). При выходе на поверхность происходит его схлопывание и образование водяного султана. Если глубина (h) помещения заряда



$$h \geq 9 \cdot \sqrt[3]{q} \text{ (м) , (13.17)}$$

то султан не возникает, т.к. газовый пузырь разрушается на много мелких пузырьков.

Выходящие на поверхность воды УВ, значительно опережающие пузырь, создают множественный всплеск (поверхностный откол).

При взрыве ВВ в грунте возможно два исхода. Если глубина заложения достаточно велика (рис. 13.4) то

ПД не могут вырваться на поверхность (явление камуфлета) и вытесняя грунт образуют сферическую полость (котел) - зону вытеснения.

$$R_v = (0.1 \div 0.4) \cdot \sqrt[3]{q} \text{ (м) . (13.18)}$$

За пределами котловой полости образуются концентрические зоны разрушения (дробления)

$$R_d \cong 2 \cdot \sqrt[3]{q} \text{ (м) , (13.19)}$$

и сотрясения грунта

$$R_c \cong 4 \cdot \sqrt[3]{q} \text{ (м) . (13.20)}$$

Если же глубина заложения заряда невелика, то образуется воронка выброса (13.5)

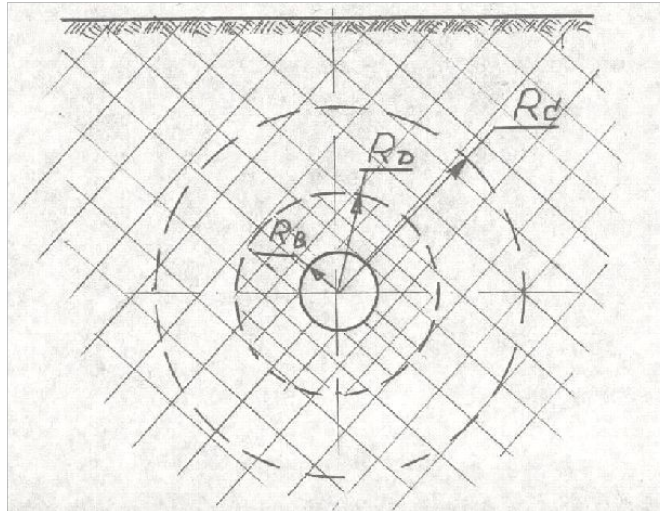


Рис. 13.4. Взрыв в грунте при большом заглублении заряда

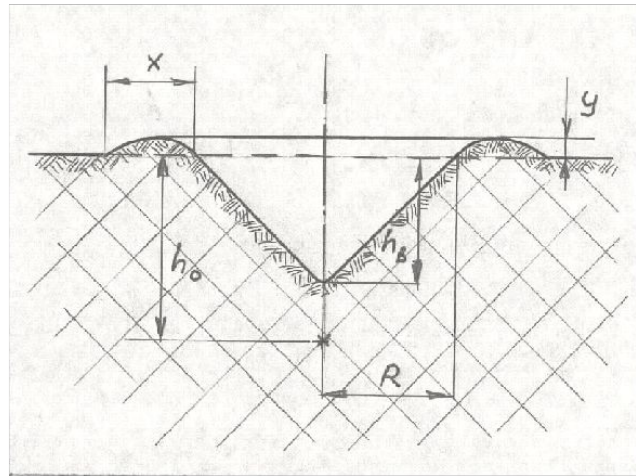


Рис. 13.5. Взрыв грунта на выброс

При взрыве на выброс необходимое количество ВВ находят как

$$q = \sum k \cdot h_0^3 (0.4 + 0.6 \cdot n^3) \text{ (кг), (13.21)}$$

где $\sum k$ - сумма коэффициентов, учитывающих как свойства ВВ, так и свойства грунта,

h_0 - глубина помещения заряда (м),

$n = \frac{R}{h_0}$ - показатель выброса,

R- радиус воронки.

Если $R=1$ - воронка нормального выброса

$R < 1$ - воронка уменьшенного выброса

$R > 1$ - воронка усиленного выброса

Глубина воронки (h_v) и размеры бруствера (см. рис.13.5) могут быть найдены как

$$h_v = \frac{1}{3} \cdot h_0 (2n - 1) , \text{ (13.22)}$$

$$x = 5n \cdot h_0 , \text{ (13.23)}$$

$$y = 0.7 \cdot \frac{h_0}{n} . \text{ (13.24)}$$

Бризантное действие взрыва.

Бризантность - это способность ВВ к местному разрушительному действию, которое является результатом резкого удара движущихся ПД по преграде. Бризантное действие проявляется лишь на близких расстояниях от места взрыва, где давление и плотность энергии еще достаточно велики.

Разновидностями бризантного действия являются пробивное, метательное, кумулятивное и т.п. действие взрыва.

При столкновении ПД (одномерное движение) с недеформируемой (абсолютно несжимаемой) преградой (см. модельные задачи п. 7.6) при решении системы уравнений (5.6), при условии, что после столкновения ($U=0$), с учетом (9.12) начальное давление составит

$$P_x = \frac{64}{27} P_j , \quad (13.25)$$

а полный импульс, воспринимаемый стенкой

$$I = \int_0^{\infty} P dt = \frac{8}{27} m_{\text{зар}} D , \quad (13.26)$$

где $m_{\text{зар}}$ - масса заряда.

В действительности абсолютно несжимаемых материалов не бывает, поэтому волновая картина на границе раздела “ПД - преграда” чрезвычайно сложна. Кроме того существует понятие активной части заряда (Баум, Станюкович).

Под активной понимают ту часть заряда (m_a), ПД которой разлетаются в заданном направлении. В таком случае на преграду будут оказывать воздействие только ПД, образующиеся из активной части. Можно показать, что для заряда ВВ в виде куба

$$m_a = \frac{1}{6} m_{\text{зар}} , \quad (13.27)$$

в виде цилиндра (в оболочке) с $l_{\text{зар}} \gg d_{\text{зар}}$

$$m_a = \frac{4}{9} m_{\text{зар}} , \quad (13.28)$$

а без оболочки (m_a) примет форму конуса, высота которого $(h_a \approx d_{\text{зар}})$, а

$$m_a = \frac{d_{\text{зар}}}{3 \cdot l_{\text{зар}}} \cdot m_{\text{зар}} . \quad (13.29)$$

Если же открытый цилиндрический заряд короткий $(l_{\text{зар}} \approx d_{\text{зар}})$, то (m_a) примет форму усеченного конуса с

$$h_a = \frac{4}{9} l_{\text{зар}} . \quad (13.30)$$

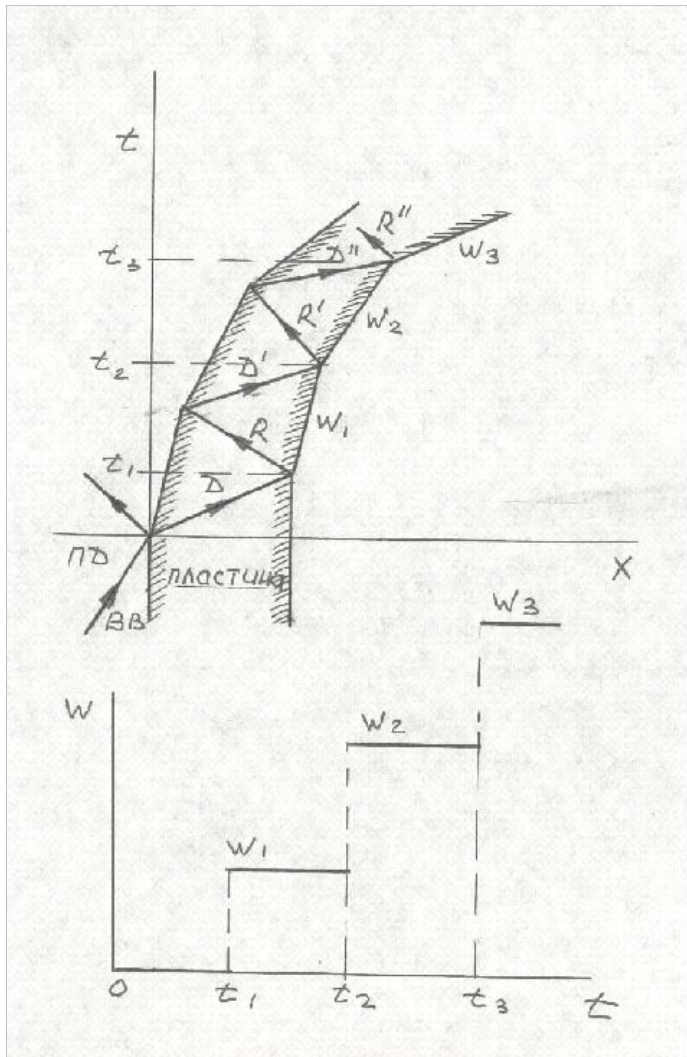


Рис. 13.6 t, x и w, t - диаграммы ускорения пластины при торцевом метании

Применение на практике понятия активной части заряда позволяет правильно выбрать наиболее целесообразные форму и размеры последнего.

Вопросы метания различных тел взрывам имеют исключительно важное значение в современной технике.

При рассмотрении вопросов метания возможно рассмотрение:

- задачи метания тела (пластины) с торцевой поверхности заряда;
- задачи о метании оболочки с боковой поверхности заряда.

При торцевом метании одномерным потоком ПД начальное ускорение (достижение первой скорости) было рассмотрено ранее.

За время первых волнобменов химические реакции уже завершаются и с тыльной стороны пластины находятся ПД. Когда ВР, распространяясь со стороны свободной поверхности, выйдет на границу раздела с ПД, пластина "попытается", оторваться от ПД, но благодаря высокому давлению в них, они "догонят" ее, а при соударении образуется новая ударная волна в пластине - D' (см. рис. 13.6)

При выходе УВ (D') на свободную поверхность образуется новая ВР (R'), а свободная поверхность получит дополнительное ускорение, приобретая новую скорость (w_2).

Процесс волнообмена для сжимаемой пластины в дальнейшем повторится и в каждом из них пластина будет приобретать новую (бо́льшую) скорость. Скачкообразный характер увеличения скорости после третьего волнообмена сглаживается, а скорость пластины достигает своего максимального значения - W_{\max} .

Этот же процесс можно рассмотреть в P,U- координатах (рис. 13.7). Если масса пластины $m_{\text{пл}} \rightarrow 0$, то конечная скорость (W_{\max}) стремится к скорости разлета ПД.

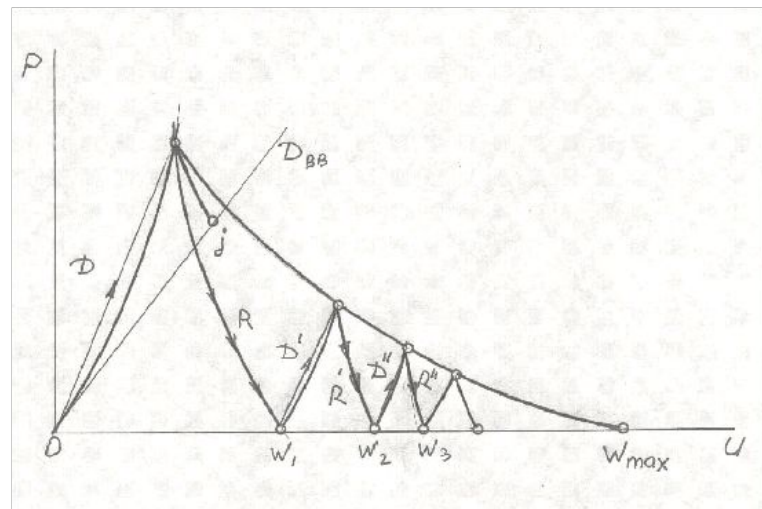


Рис. 13.7. Р,U-диаграмма торцевого ускорения пластины при $m_{\text{пл}} \rightarrow 0$.

Одна из полуэмпирических зависимостей скорости метания (W) от характеристик заряда ВВ имеет вид.

$$W = \left(0.209 \cdot \sqrt[3]{\frac{2D}{d_{\text{зар}}}} \cdot \sqrt{\frac{m_{\text{зар}}}{m_{\text{пл}}}} - 0.38 \right) \cdot D \quad , \quad (13.31)$$

где D - скорость детонации;
 $m_{\text{зар}}$ - масса заряда;
 $m_{\text{пл}}$ - масса пластины;
 $d_{\text{зар}}$ - диаметр заряда (мм).

При метании с боковой поверхности заряда с использованием гипотезы мгновенной детонации получим:

$$W = \frac{D}{2} \sqrt{\frac{m_{\text{зар}}}{m_{\text{об}}} \left[1 - \left(\frac{R_0}{R} \right)^4 \right]} , \quad (13.32)$$

где $m_{\text{зар}}$ - масса единицы длины заряда;

$m_{\text{об}}$ - масса единицы длины оболочки;

R_0 - внутренний (начальный) радиус оболочки;

R - текущий радиус оболочки.

Кумулятивный эффект, является частным случаем метательного действия взрыва, обусловлен концентрацией действия взрыва в заданном направлении.

Важно подчеркнуть, что максимум пробивной способности кумулятивного заряда реализуется не при контактном взрыве, а при расположении его на некотором расстоянии от преграды, которое принято называть фокусом (f).

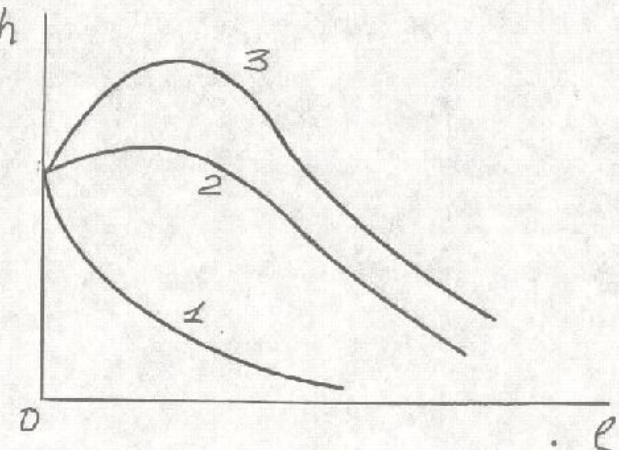


Рис. 13.8. Зависимость глубины пробития (h) от расстояния между зарядом и преградой (l)

- 1- обычный заряд (цилиндр)
- 2- заряд с кумулятивной выемкой
- 3- заряд с кумулятивной выемкой, облицованный металлом.

Наибольшей пробивной способностью обладают кумулятивные заряды имеющие металлическую облицовку выемки.

В соответствии с гидродинамической теорией кумуляции (Лаврентьев, Тейлор, Райхельбергер) под действием детонационной волны, перемещающейся вдоль поверхности выемки, металлическая облицовка, как и ПД, движутся по нормали к поверхности. Соударяясь, материал облицовки образует высокоскоростную (до $\approx 8 \text{ км/с}$) кумулятивную струю, куда расходуется $\sim 10\%$ материала оболочки, и пест, в который переходит до $\sim 90\%$ металла (рис. 13.9).

Головная часть имеет более высокую скорость, чем хвостовая часть. В результате этого по мере движения струя рассеивается и на некотором расстоянии разрывается на отдельные фрагменты.

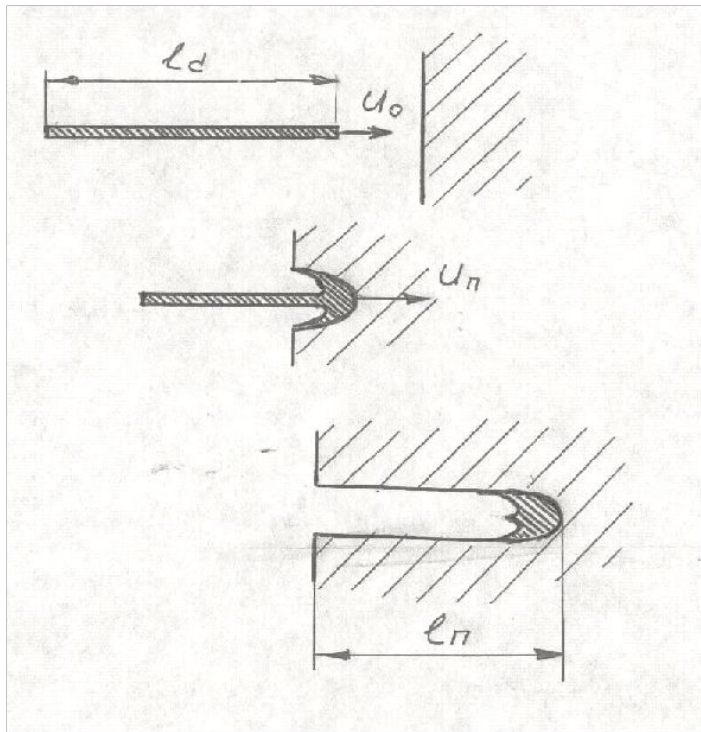


Рис. 13.9. Расчетная схема для определения глубины пробития.

Принимая, что прочность и сжимаемость соударяющихся тел (струи и преграды) одинаковы, процесс проникновения струи в преграду можно уподобить внедрению несжимаемой жидкой струи в несжимаемую преграду (рис. 13.9).

Приняв процесс внедрения установившимся, используя уравнение Бернулли для преграды

$$P_n + \frac{\rho_n u_n^2}{2} = \text{const}, \quad (13.33)$$

для струи

$$P_c + \frac{\rho_c (u_0 - u_n)^2}{2} = \text{const}. \quad (13.34)$$

Приравняв (13.33) и (13.34) и учитывая, что $\rho_c = \rho_n$

$$u_n = \frac{u_0}{1 + \sqrt{\frac{\rho_n}{\rho_c}}} . \quad (13.35)$$

Время расходования струи

$$t_c = \frac{l_c}{u_0 - u_n} , \quad (13.36)$$

а время проникновения струи

$$t_n = \frac{l_n}{u_n} , \quad (13.37)$$

приравняв которые, получим

$$l_n = l_c \sqrt{\frac{\rho_c}{\rho_n}} . \quad (13.38)$$

Уравнение (13.38) носит название формулы Лаврентьева.

Лаврентьев показал, что (13.38) справедлива, если $P_n = P_c > 2$ Па, при $u_c > 4 \text{ км/с}$

Практические выводы следующие:

- 1) бронепробитие тем выше, чем выше плотность облицовки (меди, железо и т.п.)
- 2) бронепробитие тем выше, чем больше длина струи.

Боеприпасы объёмного взрыва (БОВ, также известные как **термобарические боеприпасы, объёмно-детонирующие боеприпасы** (ОДБ), в англоязычных странах также употребляется термин fuel-air bomb — **топливно-воздушная бомба**) — вид боеприпасов, который использует распыление горючего вещества в виде аэрозоля и подрыв полученного газового облака. БОВ больших калибров сравнимы по мощности со сверхмалыми тактическими ядерными боеприпасами, но у них отсутствует радиационный эффект поражения. При этом у ударной волны термобарических боеприпасов, благодаря большому объёму подрываемой смеси, более выражена отрицательная полуволна давления, чем у обычных взрывчатых веществ.

Также существует «газетный штамп», с помощью которого у этого типа боеприпасов укоренилось неверное название — **вакуумная бомба**.

Технология

Принцип действия ОДБ основан на детонации облака горючего аэрозоля. Благодаря большим размерам облака (на порядки больше, чем размеры зарядов с конденсированным взрывчатым веществом), ударная волна сохраняет поражающее действие на большом расстоянии. Взрыв происходит в две стадии:

1. по команде взрывателя, как правило бесконтактного, подрывается небольшой заряд обычного взрывчатого вещества (его задача — равномерно распределить горючее вещество по объёму облака);
2. с небольшой задержкой подрывается второй заряд (или несколько зарядов), вызывающий детонацию аэрозоля.

В качестве горючего в ОДБ используют:

- Окись этилена.
- Окись пропилена.
- Метил- и диметилацетилен.
- Бутил- и пропилнитрит.

В настоящее время усилия инженеров, работающих над созданием термобарических боеприпасов, направлены на создание технологии образования более равномерного облака воздушно-топливной смеси и более симметричного его подрыва — то есть условий, при которых достигается максимальный эффект от взрыва.

История

По сути, объёмный взрыв — одно из первых явлений подобного характера и масштаба, с которым познакомился человек. Первые случаи объёмных взрывов были отмечены еще до нашей эры на мельницах, где взрывалась взвешенная в воздухе мука. Позже подобные случаи отмечались на мануфактурах, где взрывалась растительная пыль, и т. д. Одними из наиболее опасных в этом отношении производств являются сахарные и мукомольные заводы.